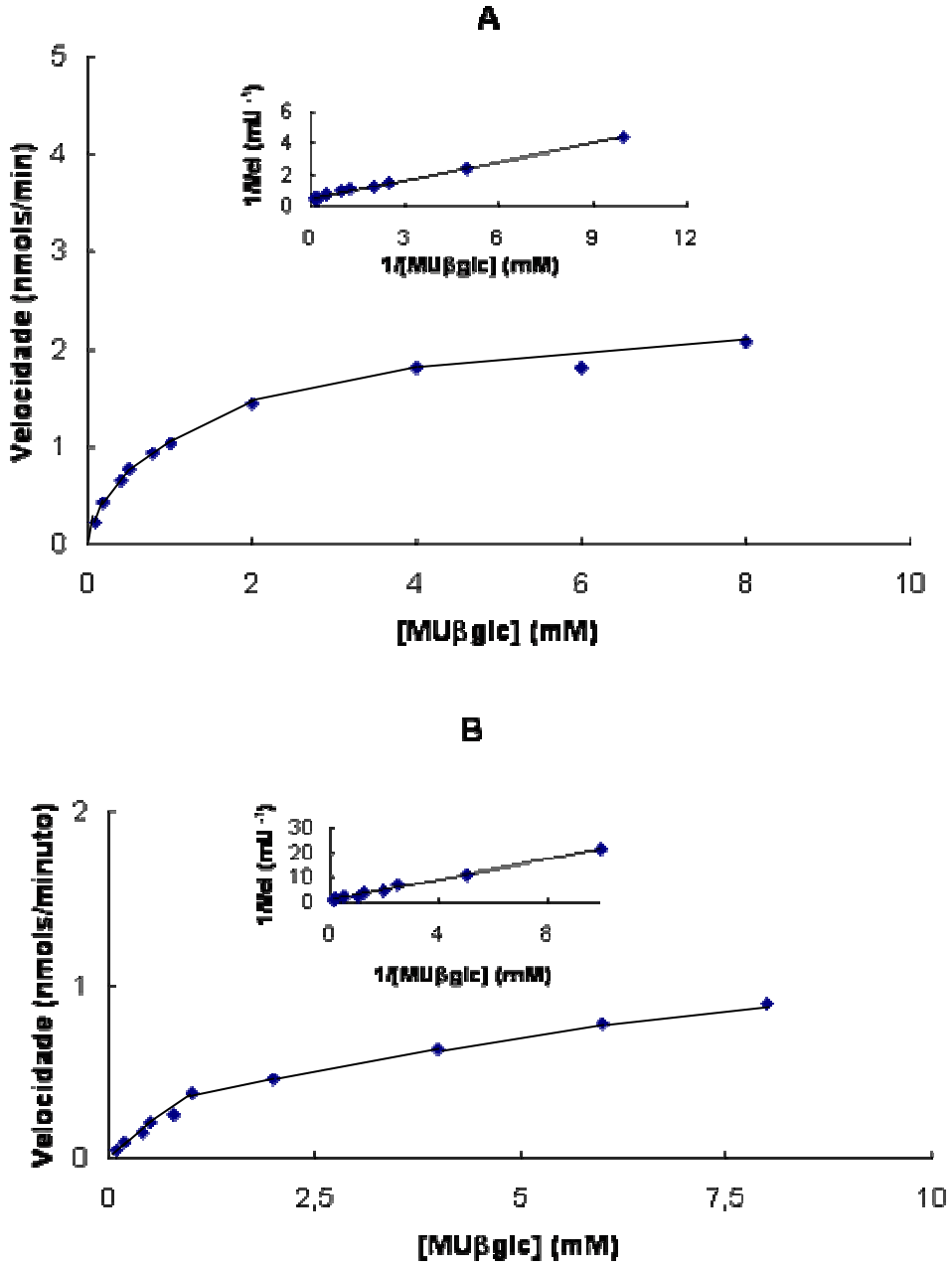

Figura 10: Efeito da concentração do substrato (MUβglc) na atividade da Sfβgli50 recombinante selvagem e mutante ($Y_{456}A$) expressos em células BL21 DE3. A) Plotes da velocidade *versus* concentração de substrato para a enzima selvagem. B) Plotes da velocidade *versus* concentração de substrato para o mutante $Y_{456}A$. Os insertos são o plote de Lineweaver-Burk (1/Vel x 1/[S]). O substrato foi preparado em tampão citrato fosfato 50mM pH 6,0.

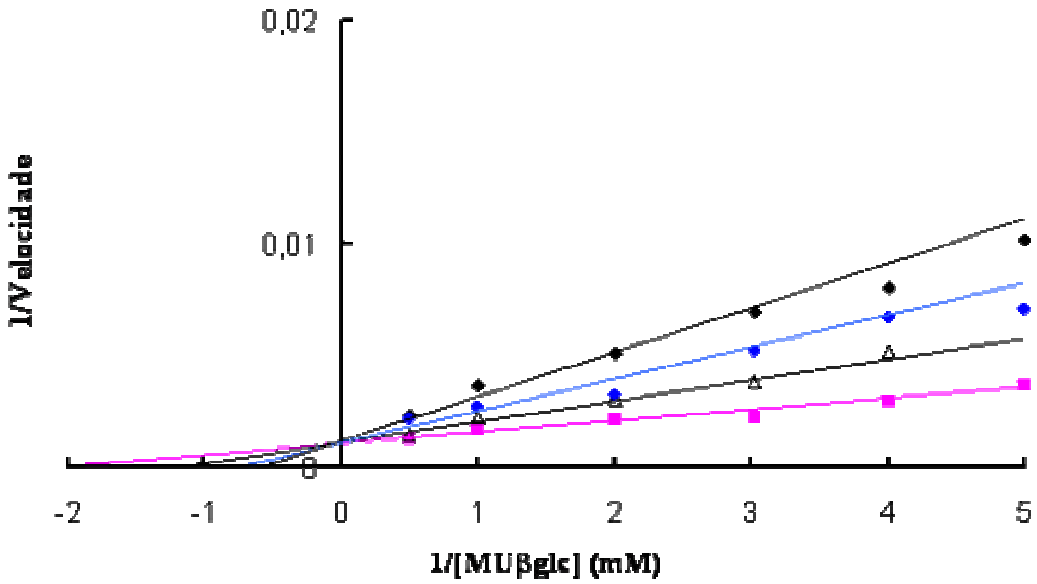

Figura 11: Inibição por glucono δ lactona da hidrólise de MUβglc pela Sfβgli50 selvagem. Os plotes de Lineweaver-Burk foram feitos para diferentes concentrações de substrato em cada concentração do inibidor (■ = 0mM; △ = 0,025mM; ● = 0,05mM e ♦ = 0,075 mM). Inserção: replote das inclinações calculadas dos plotes de Lineweaver-Burk *versus* a concentração do inibidor.

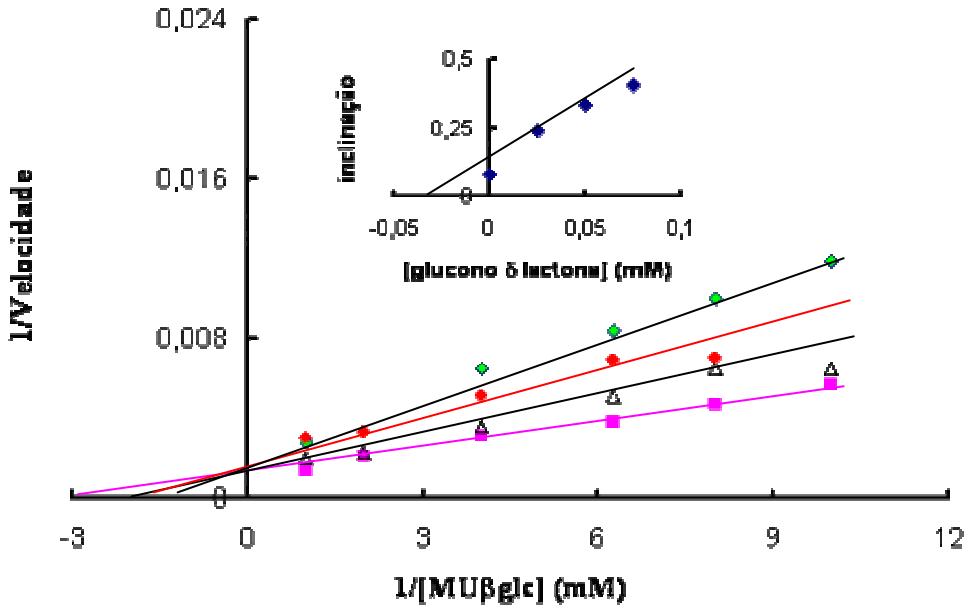

Figura 12: Inibição por glucono δ lactona da hidrólise de MUβglc pela Sfβgli50 mutante ($Y_{456}A$). Os plotes de Lineweaver-Burk foram feitos para diferentes concentrações de substrato em cada concentração do inibidor (■ = 0mM; △= 0,025mM; ● = 0,05mM; ◆ = 0,075 mM). Inserção: replote das inclinações calculadas dos plotes de Lineweaver-Burk *versus* a concentração do inibidor.